

## تأثير نسبة الكربون على مقاومة التآكل للصلب الكاربوني في الأوساط المائية

ياسر عبدالوهاب عبدالله

مهندس

قسم الهندسة الميكانيكية- كلية الهندسة- جامعة الموصل

د. صبحي إسماعيل إبراهيم

أستاذ مساعد

### الخلاصة

يعد الصلب الكاربوني من المعادن الواسعة الاستخدام في التطبيقات الهندسية والصناعية، استخدمت في هذه الدراسة مجموعة من أنواع الصلب وبنسب كarbon مختلفة. اختبرت أوساط التآكل المائية الأكثر شيوعاً في هذا البحث والتي شملت الماء المالح، وماء الشرب وأوقات تعرض للتآكل محددة وهي خمس أوقات شملت شهر وشهرين وثلاثة أشهر وأربعة أشهر وخمسة أشهر. تم استخدام طريقة فقدان الوزن لغرض احتساب معدلات التآكل فقد تبين أن نسبة الكربون لها تأثير على مقاومة التآكل للصلب من خلال دراسة معدلات التآكل لهذا الصلب وهذه العلاقة تم ربطها بالبنية المجهرية. حيث أكدت النتائج أن مقاومة التآكل تقل مع زيادة طور البيرلايت في الصلب الهايبيريونتكويدي، وتزداد هذه المقاومة مع نقصان طور البيرلايت في الصلب الهايبيريونتكويدي وإن أقل مقاومة للتآكل وجدت في الصلب اليونتكويدي وفي أوساط التآكل المستخدمة فضلاً عن ذلك فقد تبين أن معدلات التآكل تتغير بتغيير وسط التآكل، فمثلاً معدلات التآكل للصلب في الماء المالح هي الأعلى أما ماء الشرب فقد مثل أوطأ معدلات للتآكل. ففضلاً عن ماذكر، فقد لوحظ أن هناك علاقة بين زمن التعرض للتآكل ومعدلات التآكل فهي تقل بزيادة زمن التعرض للتآكل مع بقاء استمرار الزيادة في فقدان الوزن.

الكلمات الدالة : الصلب الكاربوني، نسبة الكربون، معدلات التآكل، الأوساط المائية.

## The Influence of Carbon Contents on the Corrosion Resistance of Plain-Carbon Steels in the Water Environments

Sobhi.I.Ibrahim

Ass. Prof

Mech. Eng. Dept. / College of Engineering / Mosul University

Yasir.A.Abdullah

Engineer

### Abstract

Plain-carbon steels are considered to be the most widely used materials in engineering and industrial applications. In this study wide range of carbon steels are used in the most common corrosion environments which are salt water and drinking water. The weight loss method is used, then corrosion rate is found to correlate with carbon percentage of steels. The results indicate good correlation which are related to the microstructure where higher pearlite show higher corrosion rate and pearlitic steel represents the maximum corrosion rate. This is found in both environments used where higher corrosion rate is the characteristic of salt water. It is also found that the longer exposure time the lower corrosion rate while weight loss is still continuing.

Keyword: Plain-carbon steels,Carbon content, Corrosion rates, Water environments.

## المقدمة

بعد التآكل (Corrosion) من اكبر المشاكل التي تعاني منها الصناعة أينما وجدت، ويعرف التآكل بعدة أشكال هي: انحلال المعدن بسبب تفاعله مع وسط التآكل (Corrosion environment) الذي يتعرض له ، ويعرف بأنه تلف في المعدن نتيجة لتفاعله كيميائيا (Chemical reaction) أو كهروكيميائيا (Electrochemical) أو كهروكيميائيا (Wet Corrosion) مع الوسط المحيط به. إن التآكل الذي سوف نتناوله في هذا البحث هو التآكل الرطب (Wet Corrosion) الذي يتضمن تفاعلات كهروكيميائية وهذا النوع من التآكل لا يحصل إلا عندما يكون الوسط الذي فيه المعدن وسطاً ناقلاً للكهربائية (Electrolyte) وقد تم التركيز على هذا النوع من التآكل الذي يصيب الأجزاء المعدنية، ومثال ذلك تآكل الصلب الكاربوني عند وجود الماء. وتكون خلية التآكل الغفاني (Galvanic Corrosion Cell) من قطبين يمثل أحدهم أنود (Anode) والآخر كاثود (Cathode) وإن فرق الجهد بين الأنود والكاثود يمكن أن يحصل في حالة كون قطبي الخلية من معدنين مختلفين أو من معدن واحد، وفي هذا البحث سيكون التركيز على التآكل في المعدن الواحد وبذلك سوف يصبح عبارة عن قطبين أحد هذه الأقطاب يمثل الأنود، والآخر كاثود [1]. وتتألف البنية المجهرية للصلب الكاربوني من: الفرایت والبيرلايت، البيرلايت فقط، البيرلايت والسمنتايت ويمثل الفرایت طور أحادي (Single phase) أما البيرلايت فيمثل طورين مختلفين (Two phases) هما الفرایت والسمنتايت وان الطورين المختلفين يعطيان خواصاً ميكانيكية (Mechanical properties) متميزة، إذ تجمع بين أكثر من صفة ميكانيكية كقوه الشد (Tensile strength) والصلادة (Hardness)، إلا أنها تكون عرضة للتآكل أكثر من البنية المجهرية ذات الطور الأحادي لتكون خلايا التآكل الغفانية المجهرية (Microgalvanic corrosion cells) بسبب اختلاف الجهد المتوقع بين الطورين المجهريين [4,3,2]. إن الصلب الكاربوني يعتبر أكثر عرضة للتآكل وذلك بسبب كثرة تطبيقاته واستخداماته الصناعية. ويلعب التآكل بواسطة الماء دوراً هاماً في منشآت صناعية وهندسية عديدة منها: إسالة الماء وأنابيب المياه ومعدات تسخين الماء وخزانات المياه والمصانع والجسور والمنشآت البحرية والسفينة والمركبات. ويشبه سلوك الماء كمادة تآكل، سلوك المحيط الجوي، من حيث توفر محلول مائي موصل للكهرباء (Electrolyte) بصورة دائمة وتتوفر عامل مؤكسد وهو الأوكسجين المذاب، لذا فإن التآكل بواسطة الماء يصنف كنوع من أنواع التآكل الكهروكيميائي. ويؤدي الأوكسجين دوراً أساسياً في عملية التآكل بواسطة الماء ويستهلك الأوكسجين الموجود بنسق قليلة في شبكات تسخين الماء المغلقة بسرعة، ولذلك يمكن اعتبار مياه التدفع خالية من الأوكسجين ونلاحظ عدم تآكل هذه المنشآت بعد مضي عشرات السنين من العمل. ويختلف سلوك الماء في المنشآت المعرضة للهواء الخارجي، مثل الخزانات أو حاويات معاملة الماء الساخن والتي تتم تغذيتها باستمرار بالماء الحاوي على الأوكسجين المذاب وفي هذه الحالة سوف يتتوفر الماء المشبع بالهواء مما يزيد من حدوث عملية التآكل [6,5]. وسوف يتم التركيز في هذه الدراسة على سلوكية التآكل في الصلب الكاربوني الذي يحتوي على نسب مختلفة من الكاربون وذلك لمعرفة مدى تأثير البنية المجهرية للصلب الكاربوني بأنواعه الأساسية وهي صلب الهايريوكتوبيدي

(Hyper-eutectoid Steels)، وصلب اليوتكتوبيدي (Eutectoid Steels) وصلب الهايريوكتوبيدي (Hypo-eutectoid Steels) على مقاومة التآكل وذلك بأخذ أوساط تآكل (Corrosive media) مائية تم اختيارها وهي الماء المالح (Drinking water) والماء الشرب (Salt water). يعد الماء المالح وسط نشط في التفاعل الكهروكيميائي إذ تعمل الأملاح المذابة فيه وخاصة الكلوريدات منها على نشر التفاعل للمساحات السطحية الأكثر من خلال التوصيل الكهربائي المتميز لهذه الأملاح. وهناك نوعان من الماء المالح وهما الماء المالح صناعياً والماء المالح طبيعياً (ماء البحر). يحضر الماء المالح صناعياً بإضافة نسبة من الأملاح إلى الماء، وقد تكون هذه الأملاح من نوع واحد كإضافة كلوريد الصوديوم للماء مثلاً أو إضافة مجموعة أنواع من الأملاح مثل كلوريد الصوديوم، كلوريد المغنيسيوم، أو بوناسيوم وغيرها من الأملاح. أما الماء المالح طبيعياً فهو ماء البحر الذي يحتوي على 3.5% من كلوريد الصوديوم، كما يحتوي أيضاً على أملاح أخرى وهي كلوريد المغنيسيوم والكلاسيوم والبوتاسيوم والبروميد. كما يحتوي على أيونات مثل أيونات الكبريتات وأيونات الخارصين، والماء المالح له توصيل كهربائي أعلى من الماء العذب وهذا لوحده يمكّن أن يزيد معدل التآكل للعديد من المعادن، وإنّ محتوى الماء المالح من الكلوريد العالي سبب في زيادة الفشل الموقعي (Localized breakdown) لطبقات الأكسيد السطحية بسبب اختراقه لها [7]. ويشمل الماء العذب كلّ أنواع المياه ماعدا ماء البحر كونه مالح، والماء العذب يتضمن ماء الشرب وماء النهر ومياه الينابيع. وان اغلب المياه الطبيعية تمثل إلى القاعدة بسبب وجود الكاربونات والبيكاربونات، والتآكل في الماء العذب يتأثر اعتماداً على محتواه من الأوكسجين، وأيونات الكلوريدات وال الكبريتات، وقيمة pH ، والبيكاربونات وأيونات الكالسيوم. وفي التآكل ينتشر الأوكسجين المذاب من خلال الماء الموجود على السطح المعدني أو من خلال غشاء الرطوبة السطحي إلى كل الاتجاهات الممكنة، وبهذا يكون التآكل تحت سيطرة انتشار الأوكسجين المذاب [9,1,8]. وقد استخدم في هذا البحث الماء المالح صناعياً وذلك بإضافة 3.5% كلوريد الصوديوم (ملح الطعام) إلى الماء المقطر لنقربيه إلى مكونات ماء البحر.

### الدراسات السابقة

درس كل من: الباحث (Han 2008) [10] وزملاؤه تأثير ماء البحر على معدل التآكل لنوعين من الصلب الكاربوني بنسبة كاربون (0.13%C, 0.23%C), حيث تم اختيار موقع بحري شرق الصين خلال مدة 60 يوماً، ودرس الباحث (Melchers 2003) [11] تأثير الوسط البحري على صلب منخفض الكاربون (0.12% C, 0.18% C)، كما ودرس الباحث (Pillai 1982) [12] وزملاؤه تأثير نسبة الكاربون على معدلات التآكل وتمأخذ نوعين من الصلب منخفض الكاربون (0.03% C, 0.13% C)، واستنتج الباحثون انه بتغيير نسبة الكاربون سوف يزداد معدل التآكل مع زيادة نسبة الكاربون وذلك بسبب تغير البنية المجهريّة التي تؤدي إلى زيادة طور السمنتايت وتقصان طور الفرايت وبذلك تزداد المساحة الانوية مع زيادة نسبة الكاربون والتي تؤدي بدورها إلى زيادة معدلات التآكل.

وقد أكد الباحث (Tomlinson 1983) [13] من خلال دراسته انه بزيادة نسبة الكاربون تأثيراً على معدلات التآكل، إذ تزداد نسبة البيرلايت وبذلك تزداد عدد خلايا التآكل الغفاني المتمثلة بالسمنتايت المتكون والفرايت للصلب، والذي يؤدي إلى زيادة معدلات التآكل.

أما الباحث (Miroslav 2002) [14] فقد أجرى دراسة حول تأثير نسبة الكاربون في تكون حبيبات السمنتايت للصلب من خلال مقارنة معدلات التآكل بين الصلب الكاربوني المستخدم بنسبة (0.8%C, 0.5%C) مستخدماً حامض الكبريتيك بتركيز مختلف كوسط للتآكل. واستنتاج الباحث أن زيادة نسبة الكاربون هي التي أدت إلى زيادة في تكون السمنتايت والذي أثر بشكل سلبي على مقاومة التآكل. والباحث (Raja) [2002] [15] وزملاؤه فقدتمكنوا من دراسة تأثير نسبة الكاربون على معدل التآكل من خلال المقارنة بين صلب كاربوني بنسبة كاربون (0.5%, 0.14%, 0.05%) في محلول حامض الكبريتيك بتركيز 5% كوسط للتآكل. ومن هذه الدراستين تبين للباحثان أن معدل التآكل يزداد بزيادة نسبة الكاربون والذي يزيد بدوره من مساحة قطب الانود المتمثلة بطور السمنتايت داخل تركيب البيرلايت على حساب طور الفرايت والذي يمثل القطب الكاثودي.

وتوصل الباحث (Takasaki 2007) [16] وزملاؤه من خلال دراسة تأثير تركيز ايونات  $\text{Cl}^-$ ,  $\text{SO}_4^{2-}$  على معدلات التآكل في الصلب الكاربوني الطري (Mild steels) حيث استخدم ثلاثة أنواع من ماء الشرب (Drinking waters) واستنتاج أن معدلات التآكل تزداد بزيادة تركيز الايونات. وقد ذكر الباحث في دراسته أن الباحثين (Larson and Skold 1958) استنتجوا أن التآكل الذي يحصل في ماء الشرب يعتمد على نسبة تركيز ايونات  $\text{Cl}^-$ ,  $\text{SO}_4^{2-}$  نسبة إلى  $\text{HCO}_3^-$  حيث أن ايونات  $\text{Cl}^-$ ,  $\text{SO}_4^{2-}$  تزيد من معدلات التآكل على عكس ايون  $\text{HCO}_3^-$  الذي يقلل من معدلات التآكل.

واستنتاج الباحث (Garcia 2008) [17] وزملاؤه أن زيادة تركيز ايونات ( $\text{Cl}^-$ ) سيزيد من الفقدان في الوزن (Weight loss) للصلب الكاربوني وتزداد التوصيلية (Conductivity) أيضاً، واستخدم الباحث أربعة أنواع من المحاليل التي تكون تراكيز كلوريد الصوديوم  $\text{NaCl}$  فيها مختلفة وكالاتي (0.005, 0.01, 0.1, 0.6)، وكانت نسبة الكاربون للصلب المستخدم (0.12% C) ووجد أن زيادة تركيز  $\text{NaCl}$  تؤدي إلى زيادة معدلات التآكل.

وقد قام كل من: الباحث (Takasaki 2007) [16] وزملاؤه بدراسة تأثير زمن التعرض للتأكل على معدلات التآكل في الصلب الكاربوني الطري (Mild steels) واستخدم الباحث ثلاثة أنواع من ماء الشرب، والباحث (Macdonald 1978) [18] وزملاؤه بدراسة مدى تأثير مدة التعرض للتأكل على معدل التآكل والفقدان في الوزن مستخدماً صلب منخفض الكاربون بنسبة (0.14%C) واستخدمت 6 نماذج متماثلة وعرضت بشكل مستمر ولمدة 60 يوماً وسحب كل عشرة أيام للنموذج الواحد، واستنتجوا أن زيادة زمن التعرض للتأكل يقلل من معدلات التآكل وأكدا أيضاً أن هناك زيادة بكمية الفقدان في الوزن مع زيادة مدة التعرض للتأكل.

و واستطاع الباحث (Moller 2007) [19] دراسة تأثير ايونات الكالسيوم  $\text{Ca}^{2+}$  على معدل التآكل في صلب منخفض الكاربون (0.038% C) باستخدام ماء البحر كوسط للتآكل، إن الهدف من هذه الدراسة كان لإيجاد كيفية تأثير ايونات الكالسيوم الموجودة في ماء البحر على معدل التآكل حيث أكد الباحث ترسب كاربونات الكالسيوم ( $\text{CaCO}_3$ ) وهي فعالة جداً ومن ثم ستؤدي إلى تكون طبقة كلسية على سطح المعدن تمنع وصول الأوكسجين إلى المعدن وبذلك يقل معدل التآكل.

أما الباحث (Corvo 2005) [20] فقد استنتج من خلال دراسته أن سبب اختلاف معدلات التآكل للصلب الكاربوني في الأوساط الجوية هو اختلاف تركيز ايونات الكلوريدات ( $\text{Cl}^-$ ) التي تسبب تعجيل معدلات التآكل ولاسيما في المناطق المنعرضة للأمطار ولأوقات مستمرة أو في المناطق البحرية، حيث أن زيادة تركيز ايونات الكلوريدات ستؤدي إلى زيادة التوصيلية التي تزيد من معدل التفاعل الكهروكيميائي وبذلك يزداد معدل التآكل.

## هدف البحث

إن الهدف الأساسي من هذا البحث هو دراسة تأثير نسبة الكاربون على سلوكية التآكل للصلب الكاربوني في الماء المالح وماء الشرب، وإيجاد العلاقة بين تغير نسبة الكاربون ومعدلات التآكل للصلب وعلاقتها بالتركيب المجهري وتاثير هذه الأوساط المائية المستخدمة وعامل زمن التعرض للتآكل على معدلات التآكل.

## المواد والتقنيات العملية

### المواد

تم استخدام عدد من أنواع الصلب الكاربوني والتي تضمنت نسبة الكاربون فيها الأنواع الأساسية للصلب الكاربوني وهي صلب الهايبويوتكتوبيدي، وصلب البوتكتوبيدي وصلب الهايبريوتكتوبيدي.

### التقنيات العملية

تم التحضير لإجراء اختبارات التآكل للصلب الكاربوني الذي تم اختياره وفق مراحل أساسية تضمنت:-

تهيئة نماذج الاختبار: تم تهيئة عدد مناسب من النماذج تضمنت (10) نماذج لكل نوع من أنواع الصلب الكاربوني والتي تضمنت أحد عشر نوعاً من الصلب المستخدم في هذا البحث، وقطعت هذه النماذج إلى نوعين من الأشكال، الأول عبارة عن متوازي المستطيلات أما الثاني على شكل أفراد دائريّة حسب مقطع الصلب الذي تم الحصول عليه، وتم إعداد سطوح نماذج الصلب المستخدمة بشكل متماثل عن طريق التجييف والتدعيم لإزالة الحشونة السطحية والزوايا الحادة غير المرغوبة.

المعاملة الحرارية للنماذج: أجريت عملية المعادلة وهي إحدى المعاملات الحرارية المترنة (Equilibrium heat-treatments) الصلب تحت الدراسة وذلك لأجل إعادة الصلب إلى وضعه المترن والمتمثل بظهور أنظمة المترنة وهي الفراغت والبيرلات وسميت لغرض دراسة تأثير البنية المجهري للصلب الكاربوني بأنواعه الأساسية على مقاومة التآكل في الأوساط المائية.

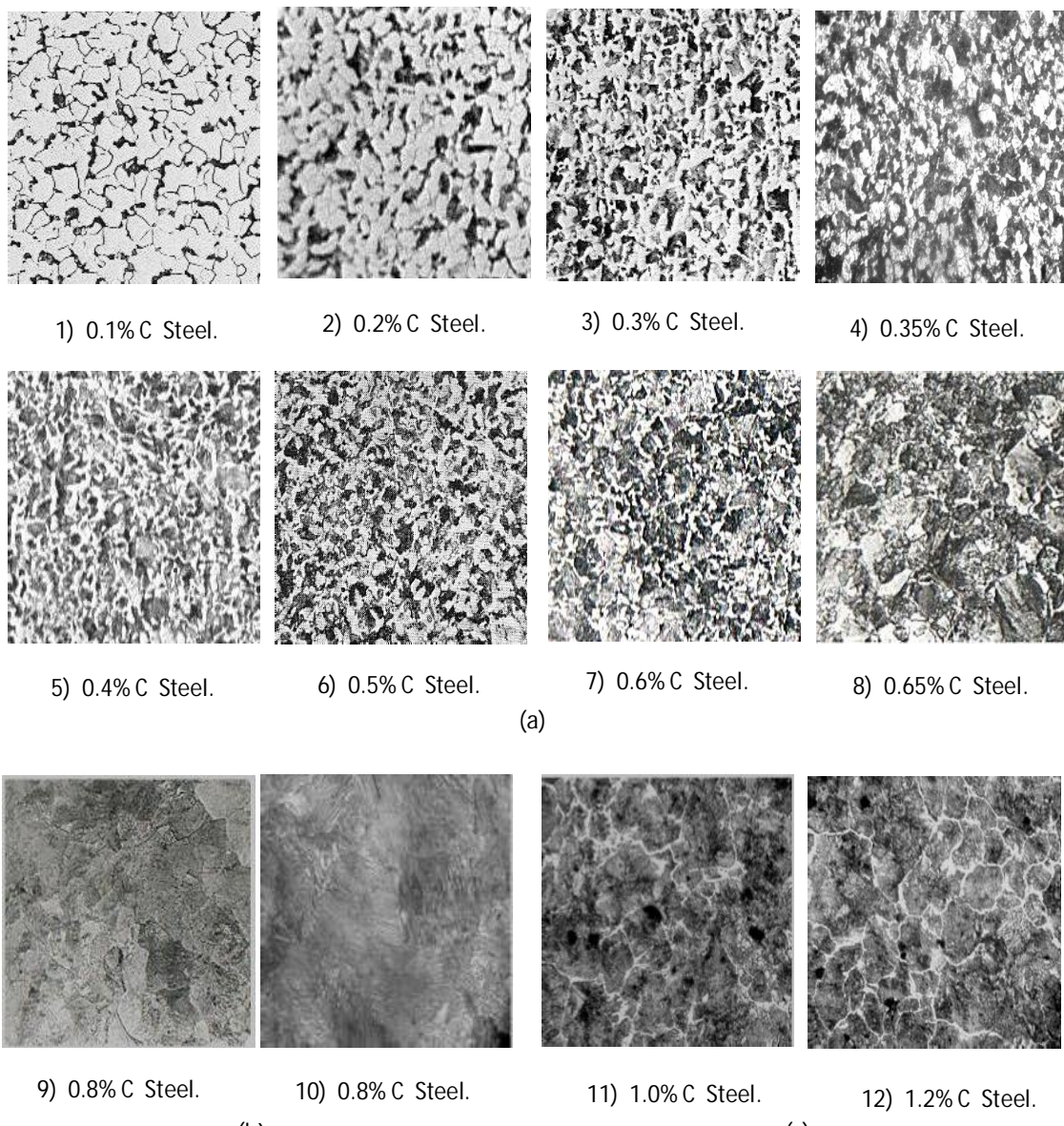
الفحص المجهري: تم تحضير عينات من نماذج الصلب الكاربوني المستخدمة والمعاملة حرارياً لغرض الفحص المجهري بالطريقة التقليدية والتي شملت التدعيم بدرجات (320, 600, 800, 1000) والصقل (Polishing) ثم عملية الإظهار (Etching) باستخدام محلول النايتيل (2% Nital) حيث يحتوي على (2% Nitric acid and 98% alcohol)، تم اختيار هذه العينات لغرض التصوير المجهري وكما مبين في الشكل (1).

اختبارات التآكل: تم إجراء اختبارات التآكل لنماذج الصلب الكاربوني، وذلك بوضع النماذج في داخل أوساط التآكل المختارة بعد تعليقها بشكل عمودي في أحواض زجاجية وغمرها بالكامل حيث تم بعد ذلك غلق حكم لهذه الأحواض لتصبح بذلك عملية الاختبار مغلقة (Close condition) وذلك لمنع ذوبان أوكسجين الهواء في داخل أوساط التآكل المختارة، وكانت أشهر الاختبار هي شباط، آذار، نيسان، أيار وحزيران من السنة 2008 وفي درجة حرارة الغرفة.

وتم تحديد الأوساط المستخدمة في اختبارات التآكل والتي شملت:-

الماء المالح (Salt water): تم إضافة 3.5g % من كلوريد الصوديوم (NaCl) لكل % من الماء المقطر حيث تم التأكد من الإذابة بالكامل والترشيح قبل غمر نماذج الصلب.

ماء الشرب (Drinking water): الماء المستخدم هو ماء الشرب المتداول في مدينة الموصل / الساحل الأيسر. تمت عملية التحليل الكيميائي والفيزيائي لأوساط التآكل المستخدمة كما موضحة في الجدول (1).



الشكل(1): صور التركيب المجهرى لأنواع الصلب الكاربوني المستخدمة.

صور مجهرية لأنواع الصلب الكاربوني الهايبوبوتكتويدي 8,7,6,5,4,3,2,1 ذو التركيب الفراتي والبيرلاتي (X150).

صور التركيب المجهرى للصلب البوتكتويدي (0.8% C) ذو التركيب البيرلاتي (X150), (X500).

صور التركيب المجهرى للصلب الهايبوبوتكتويدي المستخدم ذو التركيب البيرلاتي والسمنتات (X150).

جدول (1): التحليلات الكيميائية والفيزيائية لأوساط التآكل المستخدمة في اختبارات التآكل.

COMPOUND	SALT WATER	DRINKING WATER
Total hardness mg/L	1700	230
Calcium hardness mg/L	260	120
(Cl) <sup>-</sup> mg/L	1596	36
(Mg <sup>+2</sup> )	322	24.64
(Ca <sup>+2</sup> )	104.2	48.1
Electrical conductivity	775	492
PH	8.35	8.39
Electrode potential (Volt)	-36.9	-70.2

جدول (2): تحليل التركيب الكيميائي لجميع العناصر الكيميائية المكونة لعينات من نماذج الصلب الكاربوني المستخدمة.

STEEL SAMPLE NO.	CHEMICAL COMPOSITIONS (% WEIGHT)									
	C	Si	Mn	P	S	Cr	Ni	Mo	Al	Fe
S1	.120	.238	.510	.008	.016	.107	.044	.012	.003	balance
S2	.190	2.01	.950	.022	.009	.015	.007	.003	.020	balance
S3	.341	1.74	.670	.014	.006	.049	.023	.007	.008	balance
S4	.388	1.99	.870	.013	.036	.230	.220	.062	.019	balance
S5	.473	.230	1.19	.005	.033	.437	.081	.026	.008	balance
S6	.586	.281	.660	.016	.028	.117	.066	.008	.013	balance
S7	.681	.192	.790	.002	.035	.810	.091	.042	.038	balance
S8	.702	.271	.790	.004	.017	.610	.770	.037	.011	balance
S9	.813	.251	1.09	.008	.020	1.02	.101	.043	.009	balance
S10	1.08	1.74	.670	.014	.006	.049	.023	.007	.008	balance
S11	1.13	0.23	1.19	.005	.033	.437	.081	.026	.008	balance

أوقات الاختبار: تمت الاختبارات خلال خمس أوقات زمنية تضمنت شهرًا مستمرةً يليه شهران، وثلاثة أشهر، وأربعة أشهر وخمسة أشهر، وبعد انتهاء أوقات الاختبار ترفع النماذج من الأوساط لتنظيفها من طبقات مخلفات التآكل ميكانيكياً باستخدام فرشاة ناعمة أو لا ثم باستخدام محلول حامض مكون من

(500 ml hydrochloric acid and 3.5g hexamethylene tetramine distilled water to make 1000ml) وتغمر النماذج في داخل محلول لمدة عشر دقائق لإزالة بقايا مخلفات التآكل دون التأثير على المعدن وبعدها تنفس مباشرة بالماء المقطر ثم بالكحول لتجفيفها لغرض وزنها بعد كل مدة اختبار للتآكل وذلك طبقاً للطريقة

القياسية الواردة في [22].

التحليل الكيميائي للنماذج المستخدمة: أخذت عينات من نماذج الصلب الكاربوني المستخدمة في هذا البحث وتم تحليلها كيميائياً لإيجاد نسبة الكاربون وبشكل دقيق. استخدم جهاز لتحليل العناصر الكيميائية حسب المواصفة القياسية لفحص النماذج. الجدول (2) يوضح تحليل التركيب الكيميائي لجميع العناصر الكيميائية لعينات من نماذج الصلب الكاربوني المستخدمة.

**حساب معدل التآكل:** يتم تحديد معدل التآكل (Corrosion rate) بالاعتراض على الدالة الرئيسية لذلك وهي الفقدان في الوزن ( $W$ ) أثناء مدة الاختبار ( $T$ ), أما ثوابت الاختبار في هذا البحث فهي كثافة الحديد (الصلب) ( $D$ ), والمساحة السطحية ( $A$ ). يمكن حساب معدل التآكل من خلال العلاقة الآتية، المستخدمة في هذه الدراسة [1,8] :-

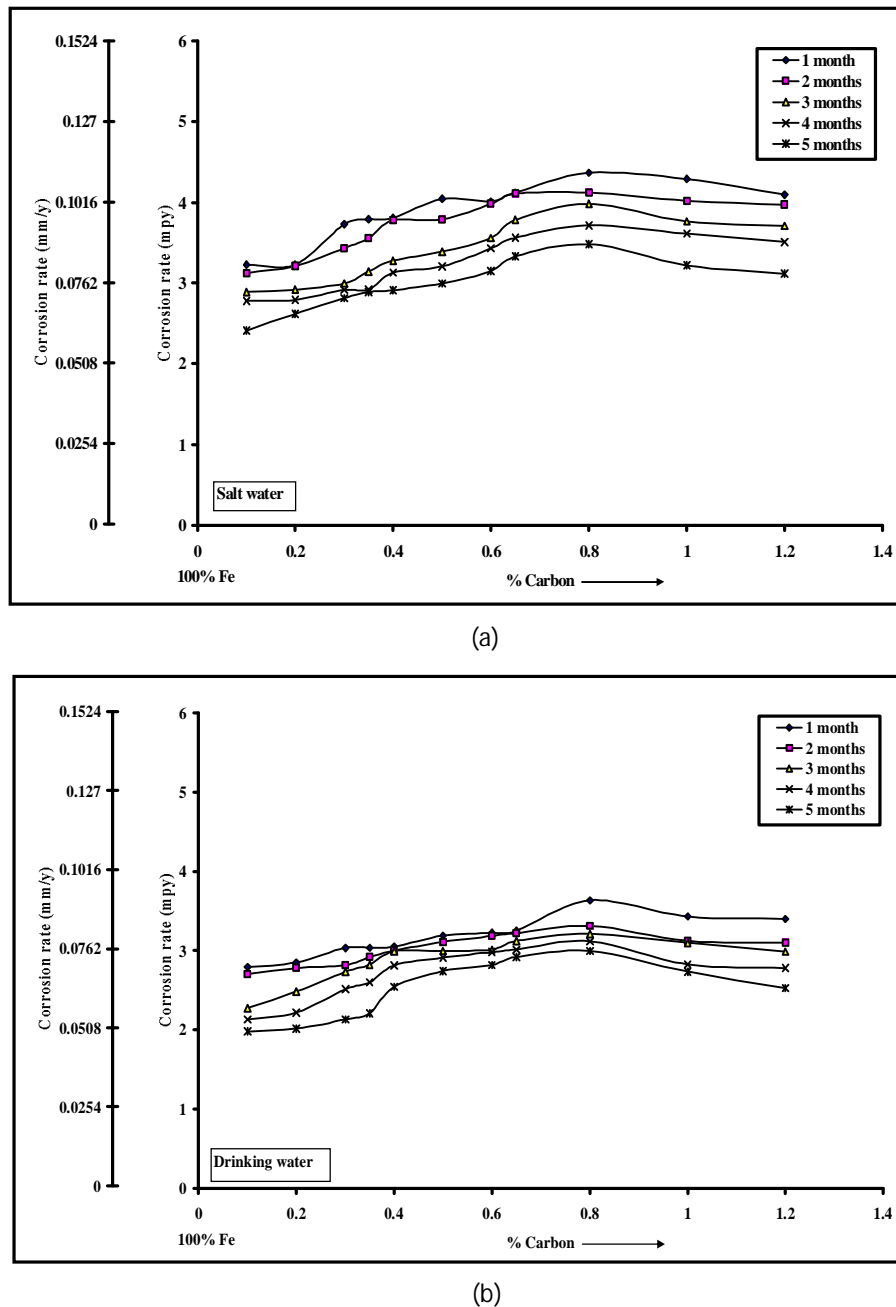
$$\text{Corrosion rate ( mpy)} = \left[ \frac{534W}{DAT} \right] \quad \dots\dots(1)$$

- (w): فقدان الوزن (mg).
- (D): كثافة الحديد ( $\text{g/cm}^3$ ).
- (A): المساحة السطحية ( $\text{in}^2$ ).
- (T): زمن التعرض للناتكل (hours).
- (mil): تعادل 0.001 inch.

النتائج والمناقشة

إن النتائج الموضحة في الشكل (2a,b) تشير إلى مدى تأثير نسبة الكاربون على معدلات التناكل الذي يد مقاييس لمقاومة التناكل في الصلب، ولكن وسط من أوساط التناكل خلال فترات التعرض للتناكل والتي ذكرت أعلاه. وبين الشكل (2) التناكل في الماء المالح وإن النتائج التي ظهرت بعد انتهاء أوقات الاختبار باستخدام الماء المالح وسطاً للتناكل توضح أنه عند زيادة نسبة الكاربون في الصلب الهابيرويتكوتويدي تزداد معدلات التناكل، وتكون هذه الزيادة تدريجية وتشبه إلى حد ما العلاقة الخطية، وإن الحد الأعلى لمعدلات التناكل كان ممثلاً بالصلب الـبـلـيـرـلـاـيـتـ اليـوـنـكـتـوـيـديـ (الـبـلـيـرـلـاـيـتـ اليـوـنـكـتـوـيـديـ)، أما عند زيادة نسبة الكاربون في الصلب الهابيرويتكوتويدي فإن معدلات التناكل تختفي وبصورة تدريجية عن الحد الأعلى لمعدلات التناكل والمتمثل بالصلب الـبـلـيـرـلـاـيـتـ اليـوـنـكـتـوـيـديـ وهذا الانخفاض يعتمد على نسبة مكونات البنية المجهرية للصلب الهابيرويتكوتويدي. وإن هذه النتائج التي ظهرت قد تكررت في الشكل (2b) والذي تم استخدام ماء الشرب وسطاً للتناكل. الأمر الذي يؤكد أن معدلات التناكل مرتبطة وبصورة واضحة بنوع الصلب الكاربوني وهو التركيب المجهي (Microstructure) أي بما يحويه الصلب من الكاربون والذي يمثل العنصر الرئيسي للتغيرات المجهرية للصلب عند اتحاده بالحديد حيث أن تغير نسبة الكاربون يؤدي إلى تغيير البنية المجهرية للصلب الكاربوني وإن الصلب الكاربوني عبارة عن سبيكة أساسها الحديد والكاربون. إن البنية المجهرية تأثر كبير على معدلات التناكل ومن خلالها يمكن معرفة وتحديد مقاومة التناكل لأي نوع من الصلب الكاربوني، وإن تحديد البنية المجهرية للصلب الكاربوني يمكن أن يحدد عمر القطعة الافتراضي المستخدمة [23,8]. تكون البنية المجهرية للصلب الهابيرويتكوتويدي من (الفريات + البيرلات) بنسب مختلفة تعتمد على تغير نسبة الكاربون بينما تكون البنية المجهرية للصلب الـبـلـيـرـلـاـيـتـ اليـوـنـكـتـوـيـديـ من

(البيرلايت + السمنتايت) وبنسب مختلفة تعتمد على نسبة الكاربون أيضاً [8]، إن السبب في زيادة معدلات التآكل مع زيادة نسبة الكاربون في الصلب الهابيويوتكتوبيدي يرجع إلى تغير نسب مكونات البنية المجهرية لهذا الصلب حيث يزداد طور السمنتايت الذي يمثل القطب الانودي ونقصان طور الفرايت الأساسي(Primary ferrite) المتمثل بالقطب الكاثودي الأساسي ومن الجدير بالذكر أن طور السمنتايت هنا يدخل ضمن طور البيرلايت الذي يتكون من الفرايت المتمثل بالقطب الكاثودي الثانوي والسمنتايت الذي يمثل القطب الانودي الأمر الذي يؤدي إلى زيادة المساحة الانودية مع زيادة نسبة الكاربون في الصلب الهابيويوتكتوبيدي وإن هذه الزيادة تعتمد على نسبة مكونات البنية المجهرية للصلب الهابيويوتكتوبيدي، حيث أن مع زيادة نسبة الكاربون في هذا الصلب تزداد عدد خلايا التآكل الغلفاني المتمثلة بالبيرلايت الذي يتكون من (الفرايت + السمنتايت) ونقصان طور الفرايت الأساسي الذي يمثل القطب الكاثودي [24]. بعد الفرايت محلولاً جاماً (Solid Solution) ذا الطور الأحادي حيث يمثل القطب الكاثودي في خلية التآكل الغلفاني أما السمنتايت فيمثل القطب الانودي ذا الطور الأحادي أيضاً كمركب معدني (Intermetallic compound) في خلية التآكل الغلفاني المجهرية داخل البيرلايت ويمكن ملاحظة ذلك عند إجراء عملية الإظهار للبيرلايت إذ يظهر السمنتايت بلون أسود وهذا يدل على تفاعلاته كيميائياً مع محلول الإظهار في حين يظهر الفرايت بلون أبيض كونه يمثل القطب الكاثودي غير متأثر كيميائياً ويسمى هذا النوع من التآكل بالتأكل الغلفاني المجهرى(Microgalvanic corrosion) حيث يحصل التآكل بين الفرايت والسمنتايت في البنية



الشكل (2): تأثير نسبة الكربون على معدلات التآكل خلال أوقات الاختبار وكل وسط من أوساط التآكل المختلفة.  
(a) ماء مالح. (b) ماء شرب.

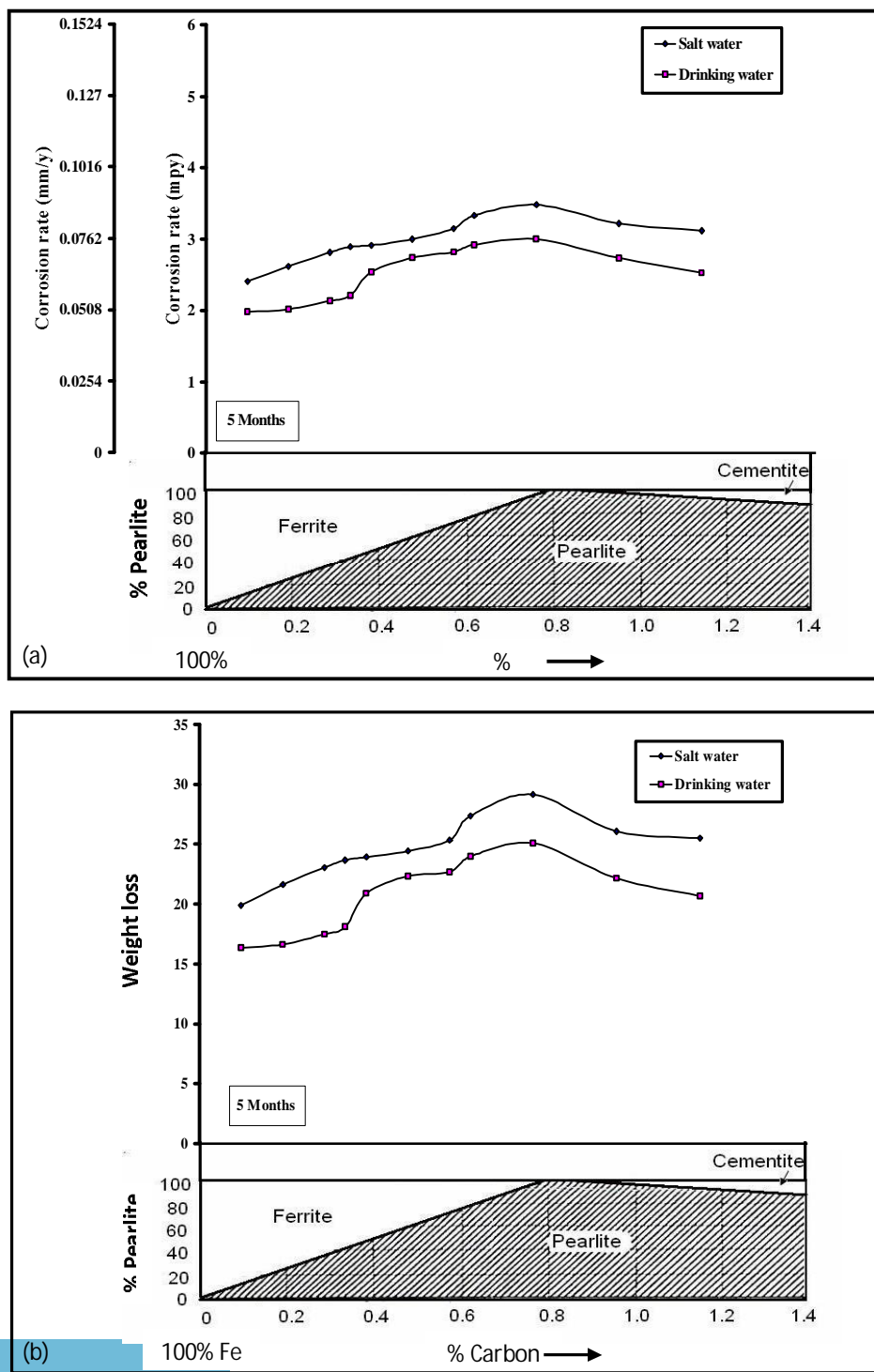
المجهرية نتيجة لاختلاف فرق الجهد (Different potentials) فيما بينهما [21]، والسبب في كون أعلى معدلات التآكل تحصل في الصلب اليوتكتوидي هو أن البنية المجهرية لهذا الصلب تتكون من 100% بيرلايت (فرات + سمنتايت) أي متكون من تركيب ذو طورين (Two phase structure) ، وان سبب نقصان معدلات التآكل في الصلب الهايربوبتكويدى هو ظهور السمنتايت الأساسى الكاثودي في هذه الحالة ونقصان طور البيرلايت أي نقصان نسبة السمنتايت الثانوى الأنودي داخل تركيب البيرلايت وبمعنى آخر قلة عدد الخلايا الغفنانية الفعالة بظهور طور السمنتايت الأساسى على حساب نسبة البيرلايت. حيث يمثل السمنتايت المتكون حول البيرلايت القطب الكاثودي إذ يظهر ذلك واضحا عند معاملة الصلب الهايربوبتكويدى بمحلول الإظهار النايتل (Nital) حيث يظهر السمنتايت بلون أبيض

غير متأثراً كيميائياً كونه يمثل القطب الكاثودي وإن معدلات التآكل في الصلب الهابيوبوتكتوبي والهابيربوتكتوبي تعتمد على نسبة مكونات البنية المجهرية لكل منها [8]، وبطبيعة ذلك واضحاً من خلال الشكل {3} (a,b) الذي يبين وبوضوح تأثير البنية المجهرية المباشر على معدلات التآكل وفقدان الوزن للصلب الكاربوني وذلك خلال تعرضه للتآكل لمدة خمسة أشهر متتالية في داخل أوساط التآكل المائية، وإن هذه النتائج تتفق مع عدد من الباحثين منهم: الباحث (Melchers 2003) [12]، والباحث (Pillai 1982) [11]، والباحث (Han 2008) [10]، استنتج أن زيادة نسبة الكربون في الصلب الهابيوبوتكتوبي سوف تؤدي إلى زيادة معدلات التآكل بسبب زيادة عدد خلايا التآكل الغافاني المتمثلة بالبيرلايت ونقصان طور الفرات. وإن النتائج التي ظهرت في الشكل {2} توضح أن معدلات التآكل تبدأ بالانخفاض تدريجياً مع زيادة زمن التعرض للتآكل وأوساط التآكل المستخدمة. هذه النتائج قد تكررت بشكل واضح لجميع أنواع الصلب الكاربوني المستخدمة في هذا البحث كما مبين في هذا الشكل. يتضح أيضاً من خلال النتائج أن الحد الأعلى لمعدلات التآكل كانت عند انتهاء المدة الأولى من الاختبار والتي تضمنت شهراً كاملاً من زمن الاختبار لجميع أنواع الصلب وأوساط التآكل المختارة وتتحفظ معدلات التآكل بشكل تدريجي لنصل إلى الحد الأدنى بعد انتهاء مدة الاختبار الأخيرة وهي خمسة أشهر متتالية، إن السبب في ذلك يعود إلى وجود مخلفات طبقات التآكل (Corrosion products layers) المتكونة على سطح الصلب والتي لها دور في إعاقة التآكل وتعمل على تقليل معدل التآكل مع مرور الزمن بجعل المعدن أقل نشاطاً مع الوسط المسبب للتآكل أو ربما يعود السبب إلى تكوين طبقات حماية متربطة تسمى طبقات الحماية بالصدأ (Oxides protection layers) كون المعدن المتآكل والذي يشبه إلى حد كبير خام الحديد في الطبيعة الأكثر استقراراً من المعدن غير المتآكل وهناك عوامل أخرى من الممكن أن تكون السبب ومنها استنزاف الأوكسجين المذاب. ففي بداية التفاعل الكهروكيميائي يحدث التآكل سريعاً ويسجل معدلات تآكل عالية إلا أنه مع مرور الزمن تقل نسبة الأوكسجين المذاب مما يؤدي إلى احتمال تجمع أيونات الهيدروجين عند قطب الانود وإعاقة تفاعل التآكل، وهذا ما يسمى بالاستقطاب [25]. وهذه النتائج تتفق مع كل من:

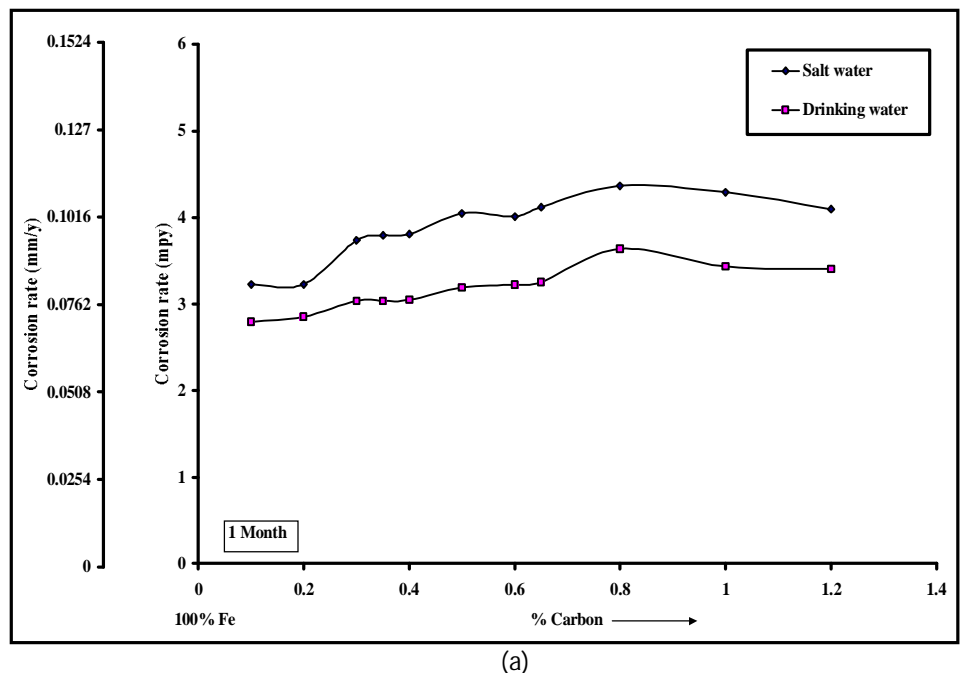
الباحث (Macdonald 1978) [18] حيث درس تأثير زمن التعرض للتآكل على معدلات التآكل واستنتج أيضاً أنه بزيادة زمن التعرض للتآكل تقل معدلات التآكل.

كما درس الباحث (Azzerri 1981) [26] تأثير نواتج التآكل على معدلات التآكل للصلب الكاربوني واستنتاج الباحث أن نواتج التآكل أدت إلى تشكيل طبقة حماية تغطي سطح النموذج وبذلك يقل معدل التآكل.  
أما الباحث (Takasaki 2007) [16] وزملاؤه فقد وجدوا أن زيادة زمن الاختبار للتآكل تؤدي إلى انخفاض معدلات التآكل.

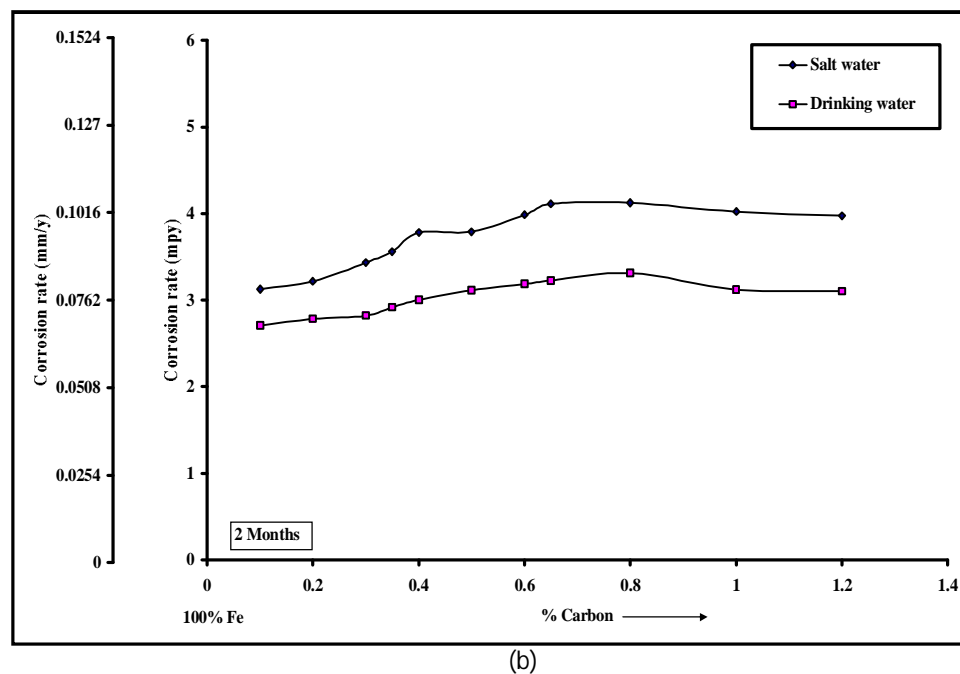
إن النتائج الموضحة في الشكل {4} تشير إلى مدى تأثير أوساط التآكل على معدلات التآكل للصلب الكاربوني ولكن وقت من أوقات الاختبار، حيث تشير هذه النتائج الموضحة في الأشكال المذكورة إلى وجود اختلاف في معدلات التآكل بأختلاف وسط التآكل وهذا يدل على أن طبيعة الوسط الذي يسبب التآكل له دور أساسي في التأثير على معدل التآكل زيادة أو نقصان [27]. حيث تمثل الأشكال المشار إليها إلى استخدام نماذج من الصلب الكاربوني وبنسب مختلفة من الكربون والتي تم تعریضها لاختبارات التآكل في أوساط التآكل المختارة. وتبيّن النتائج الموضحة في الأشكال المذكورة أعلاه إلى أن أعلى معدلات التآكل كانت في الماء المالح يليه ماء الشرب، ولجميع نماذج الصلب الكاربوني المستخدمة تحت نفس الظروف ولجميع أوقات التآكل. وإن السبب في كون معدلات التآكل في الماء المالح كانت أعلى من معدلات التآكل في ماء الشرب هو تركيز أيونات الكلوريد والمغنيسيوم حيث إن زيادة تركيز هذه الأيونات تؤدي إلى زيادة معدلات التآكل بسبب زيادة التوصيل الكهربائي للاكترووليت وإن أيونات الكلوريد تمتاز بقابليتها العالية على اختراق الطبقة الأوكسيدية السطحية الواقعية من خلال المسامات أو العيوب أسهل من اختراق الأيونات الأخرى لهذه الطبقة. كما تعمل أيونات الكلوريد على الانتشار على السطح الملائم للاكترووليت وتزيد قابليته على التوصيل الكهربائي فضلاً عن وجود آلية أخرى لايونات الكلوريد وهي اتحادها مع أيونات الحديد لتكون كلوريد الحديد عند قطب الانود وهيدروكسيد الصوديوم عند قطب الكاثود وبعد تفاعلهما معاً يتكون هيدروكسيد الحديديك وكلوريد الصوديوم وبتاليه هيدروكسيد الحديديك تكون طبقة الصدا المعروفة [28]. كما أكد الباحث (Yunping 2002) [29] من خلال دراسته عند اختبار التآكل في الماء المالح الذي يحتوي على نسبة مختلفة من كلوريد الصوديوم وبذلك تصبح قوة تآكل الماء معتمدة على نسبة ماحتويه من أيونات الكلوريد. كما تبيّن أيضاً من النتائج التي ظهرت أن معدل التآكل في الماء المالح المستخدم والذي يحتوي على (3.5% NaCl) هو أعلى من معدلات التآكل في ماء الشرب ومن المحتمل أن يعود سبب ذلك التفاوت للتآكل الملح الموجود في الماء المالح إذ أن وجود الملح المتمثّل بكلوريد الصوديوم (NaCl) يزيد تركيز أيونات الكلوريد الموجودة في الماء المالح عن مستواها في ماء الشرب فضلاً عن زيادة التوصيل الكهربائي للماء المالح والتي بدورها تسمح لمساحة سطحية أكبر بالمشاركة في التفاعل الكهروكيميائي مما يؤدي إلى زيادة معدلات التآكل والذي أكد الباحث (Yunping 2002) [29].



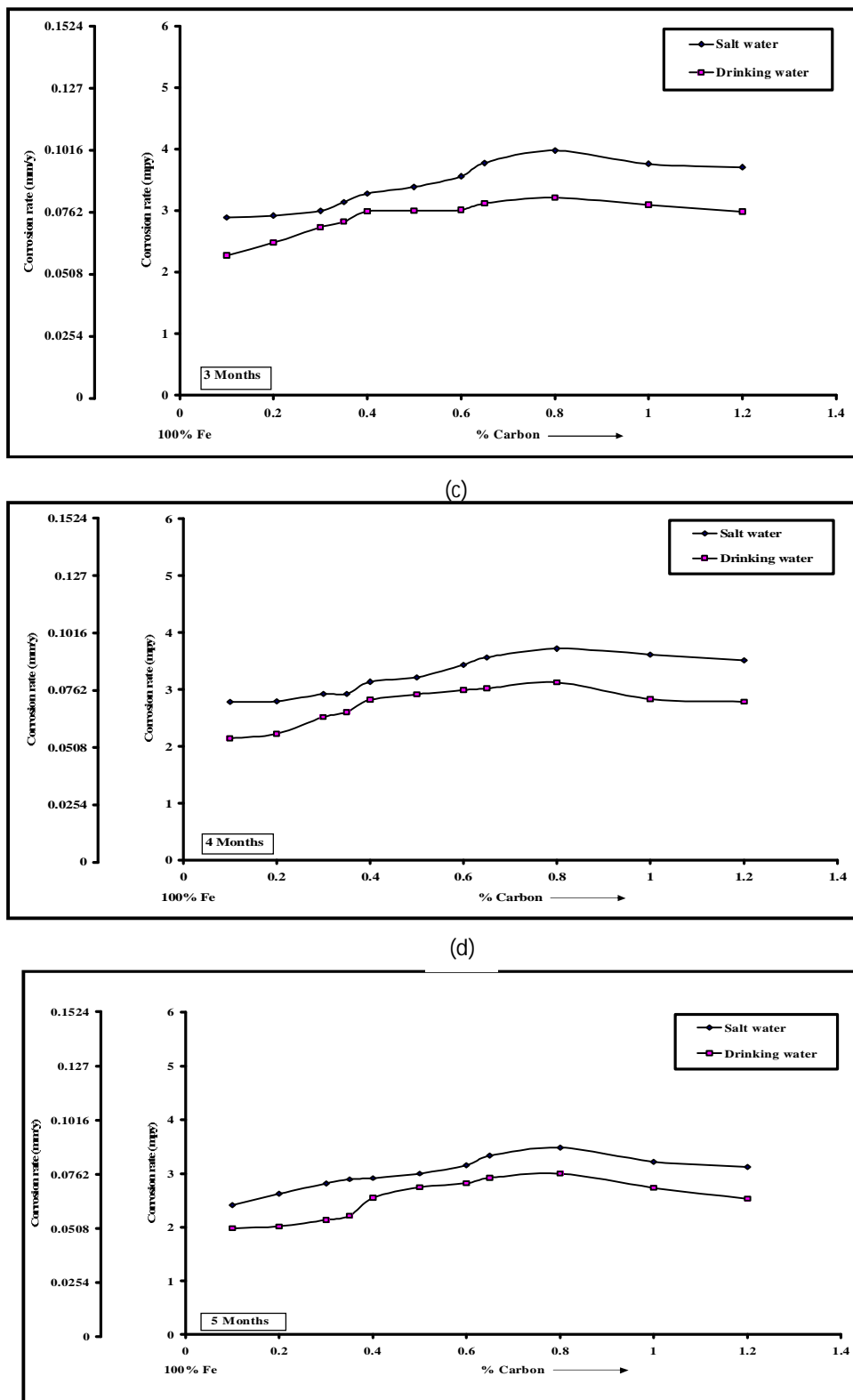
الشكل (3): يوضح تأثير البنية المجهريّة على معدلات التآكل وفقدان الوزن للصلب الكاربوني بعد مدة تعرّض للتآكل أمدّها خمسة أشهر لأوساط التآكل المختارة. (a) معدل التآكل. (b) فقدان الوزن. 34



(a)



(b)



الشكل (4): تأثير أوساط التآكل المختلفة على معدلات التآكل وتقليل وقت من اوقات الاختبار.

(a) التآكل خلال مدة شهر مستمر. (b) التآكل خلال مدة شهران متتاليان.

(c) التآكل خلال مدة ثلاثة أشهر متتالية. (d) التآكل خلال مدة أربعة أشهر متتالية.

(e) التآكل خلال مدة خمسة أشهر متتالية.

نلاحظ من خلال الجدول (1) أن تركيز أيونات الكلوريد والمنجنيسيوم مرتفعة في الماء المالح وان اغلب المياه الطبيعية تمثل إلى القاعدية بسبب وجود الكاربونات والبيكاربونات، إن زيادة درجة القاعدية في الماء تزيد من التوصيلية للماء والتي تؤثر على معدلات التآكل وكما مبين قيم الرقم الهيدروجيني للأوساط المختارة في الجدول (1).

### الاستنتاجات

من خلال النتائج التي تم الحصول عليها يمكن استنتاج ما يأتي:  
إن تغير نسبة الكاربون في الصلب الكاربوني له تأثير كبير على معدلات التآكل من خلال تأثير البنية المجهرية على معدلات التآكل وذلك بزيادة أو نقصان خلايا التآكل الغلفاني بين الأطوار المجهرية.

تتغير معدلات التآكل للصلب الكاربوني حيث تزداد في الصلب الهايبويوتكتوидي بسبب زيادة عدد خلايا التآكل الغلفاني ونقل هذه المعدلات بنقصانها.

أعلى معدلات التآكل وجدت في المراحل الأولى من التآكل بعد شهر من التعرض للتآكل وأوطالها في المراحل الأخيرة والتي استغرقت خمسة أشهر.

انخفاض معدلات التآكل للصلب الكاربوني مع زيادة فترة تعرضه للتآكل على الرغم من استمرار فقدان الوزن.

معدلات التآكل للصلب الكاربوني في الماء المالح هي أعلى من نظيراتها في ماء الشرب.  
يتميز الصلب اليوتكتويدي بضعف مقاومته للتآكل والذي يمثل الاوطأ بين باقي انواع الصلب بسبب زيادة عدد خلايا التآكل الغلفاني المتمثلة بمكونات البيرلاتيت والذي يمثل الحد الأعلى للخلايا الغلفانية المجهرية والذي حقق أعلى معدلات تآكل.

### المصادر

Fontana G. and Green, D., "Corrosion Engineering", 3rd Edition, McGraw-Hill International, U.S.A, pp. 138-172, (1986).

Roberge P.R., "Hand Book of Corrosion Engineering", United States of America, New York, pp. 25-88, (2000).

Van Vlack H., "Elements of Materials Science and Engineering", 5th Edition, Wesley Publishing Company, Inc., U.S.A, pp. 53-79, (1985).

Shreir L.L., Jarman R.A., and Burstein G.T., "Corrosion", Vol. 2, Corrosion Control, Third edition, Great Britain, pp. 43-67, (2000).

رحمه الله. حسين باقر، "هندسة التآكل وحماية سطوح المعادن"، الجامعة التكنولوجية، العراق، ص 16-72، (1989).  
الخزرجي. قحطان محمد خلف، والشريف. عبدالجود محمد احمد، "التآكل أسبابه-أنواعه-طرق الحماية منه"، العراق  
جامعة بغداد، ص 31-53، (1987).

Francis R., "Bimetallic Corrosion", National Corrosion Service, London, U.K., pp. 28-67, (2000).

Winston R., "Uhlig's Corrosion Handbook", John Wiley & Sons, Inc., Canada, pp. 47-78, (2000).

Salem A.H., and Saber T.M., "Inhibition of The Corrosion of Steel Pipes Carrying Potable Water", Elsevier Science Publishers B.V., Amsterdam, Vol.93, pp.461-471, (1993).

Han L., and Song S., "A measurement System Based on Electrochemical Frequency Modulation Technique for Monitoring the Early Corrosion of Mild Steel in Sea Water", pp. 1-19, (2008)

Melchers R. E., "Effect on Marine Immersion Corrosion of Carbon Content of Low Alloy Steels", Journal of Corrosion Science, Vol. 45, pp. 2609-2625, (2003).

Pillai K. C., and Narayan R., "The Corrosion of Mild Steel in 0.01M, 1M, 3M HCL", Journal of Corrosion Science, Vol. 22, No. 1, pp. 13-19, (1982).

Tomlinson W. J., and Giles K., "The Microstructures and Corrosion of 0.79C Steel Tempered in the Range 100-700 °C", Journal of Corrosion Science, Vol. 23, pp. 1353-1359, (1983).

Mirosalv H., and Mirosalv K., "Influence of Carbides Over Some Steel Corrosion", Acta University, Vol. 41, pp. 45-55, (2002).

Raja V.S., Baligidad R.G., and Shankar Rao V., "Effect of Carbon on Corrosion Behaviour of Fe<sub>3</sub>Al Intermetallics in 0.5 N Sulphuric Acid", Journal of Corrosion Science, Vol. 44, pp. 521-533, (2002).

Takasaki S., and Yamada Y., "Effects of Temperature and Aggressive Anions on Corrosion of Carbon Steel in Potable Water", Journal of Corrosion Science, Vol. 49, pp. 240-247, (2007).

Garcia K.E., and etal, "Loss of Iron and Iron Converted into Rust in Steels Submitted to Dry-Wet Corrosion Process", Journal of Corrosion Science, Vol. 50, pp. 763-772, (2008).

Macdonald D. D., and etal, "Corrosion of Carbon steel during Cyclical Exposure to Wet Elemental Sulphur and the Atmosphere", Journal of Corrosion Science, Vol. 18, pp. 499-501, (1978).

Moller H., "The Influence of Mg<sup>2+</sup> on the Formation of Calcareous Deposits on a Freely Corroding Low Carbon Steel in Sea Water", Journal of Corrosion Science, Vol. 49, pp. 1992-2001, (2007).

Corvo F., and Minotas J., "Changes in Atmospheric Corrosion Rate Caused by Chloride Ions Depending on Rain Regime", Journal of Corrosion Science, Vol. 47, pp. 883-892, (2005).

Higgins R.A., "Engineering Metallurgy", The English University Press.Ltd, London, U.K, pp. 152-160, (1999).

ASTM G 1-90: Standard Practice for Preparing, Cleaning, and Evaluating Corrosion Test Specimens, ASTM, Washington, USA, pp. 1-8, (1999).

Tomlinson W. J., and Giles K., "The Microstructures and Corrosion of 0.79C Steel Tempered in the Range 100-700 °C", Journal of Corrosion Science, Vol. 23, pp. 1353-1359, (1983).

Ahmad Z., "Principles of Corrosion Engineering and Corrosion Control", Elsevier Science and Technology Books, pp. 9-17, (2006).

Bayliss D.A., and Deacon D.H., "Steel Work Corrosion Control", Second edition, London, pp. 60-70, (2002).

Azzerri N., and etal, "Assessment of Corrosion Rate of Steel in Sea Water by Polarization Resistance Technique", Journal of Corrosion Science, Italy Vol. 21, No. 11, pp.781-787, (1981).

Louis F., Jack T., and Henry L., "Prediction of Corrosion Defect Growth on Operating Pipelines", Trans. Canada Pipelines Ltd., Canada, (2004).

Salem A.H., and Saber T.M., "Inhibition of The Corrosion of Steel Pipes Carrying Potable Water", Elsevier Science Publishers B.V., Amsterdam, Vol.93, pp.461-471, (1993).

Yunping X., and Zhaohui X., "Corrosion Effect of Magnesium Chloride and Sodium Chloride on Automobile Components", University of Colorado, U.S.A, Report No. CDOT-DTD- R-2002-4, (2002).

تم اجراء البحث في كلية الهندسة – جامعة الموصل